

High Power Pulse Source

安秀吉

金憲玗

1. 序論
2. 一般的考察

3. 回路設計
4. 結論

1. 序論

正確하게 control 된 pulse의 用途는 科學과 工業이 發達될수록 날로 많아져 가고 있는데 그의一部는 大電力を 取扱하는 경우로서, Radar에 對한 應用을 들 수 있다. 한편, 요자음 gallium-arsenide 等 半導體 diode를 使用해서 Laser action을 일으킬 수 있다는 것이 發見되어 G.E. 및 IBM等에서 開發되고 있다. (Ref.1,2) 이 경우에, continuous emission도可能하지만 흔히, intermittent operation을 시켜야 할 때가 많기 때문에 timed pulse source가 必要하게 된다.

또 한편, spot welding의 경우에서도 이러한 pulse source가 必要하게 된다. 이들을 크게 나누어 source를 AC로 할 경우와 DC로 할 경우가 있는데, 前者の 경우는 thyratron을 使用할 경우가 많게 될 것이다. DC의 경우나 AC의 경우에나 잘 shape 되고 time된 pulse source를 만들기 놓으면 真空管이나 thyratron이나 같은 모양으로 drive 할 수(thyratron의 경우는 trigger) 있을 것이기 때문에, 이러한 pulse source를 만들必要가 있게 된다.

2. 一般的考察

먼저, DC의 경우를 살펴 보면 最終의 電力管의 anode回路에 負荷를 달고 그 grid를 pulse로 drive 해야 하기 때문에, 그 때 pulse의 時間幅을 變化시켜 줄 수 있어야 하며, pulse height는 最終管을 bottom state로 보내는데充分한 높이로서 固定되어 있고, anode電源을 變化시켜서 電力を 調整할 수가 있다.

다음에 DC에서도 thyratron을 使用할 경우가 있는데, 그 때는 두 個의 thyratron을 使用해서 負荷와 直列 및 並列로 連結하고, 먼저, 直列로 이어진 thyratron을 fire하고 所要의 time duration이 지나간 다음에,

並列로 이어진 thyratron을 fire 함으로써 可能할 것이다. 이번 機會에는 이 以上 取扱하지 않기로 하겠다.

實地에 있어서, 特히, welding에 있어, 가장 工業의 價値가 있을 AC의 경우를 생각해 보면 60 cycle의 半周期인 8.33 msec를 超過하는 pulse가 必要한지, 또는 그보다 短은 幅의 pulse가 必要한지에 따라 問題는 달라지는데, 後者の 경우 thyratron의 ionization time이 10 μ sec程度이며, deionization time이 1 msec程度이므로 그 以上 sharp한 pulse는 thyratron을 使用해서는 不可能하다.

要求된 pulse가 8.33 msec 以下일 때를 먼저 考慮하면 excite 하는 pulse는 幅이 短은 矩形 pulse일지 몰르지만 thyratron을 거쳐 負荷에 결리는 電力은 firing angle이 다른 半周期 以下의 sine wave이다. 問題點은 switch가 어떠한 時間에 들어가면 preset된 firing angle을 갖기 為해서 switch on된 cycle 보다 最小限 1周期 늦은 cycle에서 time base signal을 얻는다는 것과 그 다음 cycle에서 願하는 angle에서 fire하는 問題가 있다.

한번 fire되면 그 半 cycle이 完成될 때까지 thyratron은 conduct 할 것이며, 그보다 먼저 미리시키려면 DC의 경우와같이 두 個의 thyratron을 써야 하나, 여기서는 역시 取扱하지 않기로 한다.

다음에 必要된 時間이 8.33 msec 보다 긴 경우에는 source를 AC에서 인고 있는 以上 몇個의 半周波를 허리케 하느냐의 問題로歸結되며, 機構의 簡潔化를 為해서 (binary를 使用하기 為해서) 1個의 半周波, 2個의 半周波, 4個의 半周波, 8個의 半周波, 16個의 半周波等으로 time duration을 增加할 수 있게만 하고, 그밖에의 數를 取扱하지 않기로 하나, 구태어 必要하다면 digital technique로서 願하는 整數倍의 半周波를 얻을 수 있는 것은勿論이다.

3. 回路設計

먼저 半周波보다 짧은 경우를 생각하면 그 block diagram 은 다음 Fig. 1 과 같다. 그 作用은 switch 가 on 되었을 때 gate 를 거쳐 bistable 回路를動作시켜 switch 가 on 되었을 瞬間의 고르지 못한 cycle에서 빠져나와 하나의 time base 를 設定하고 monostable flip-flop 回路를動作시켜, 그 time duration 을 可變하게 하여

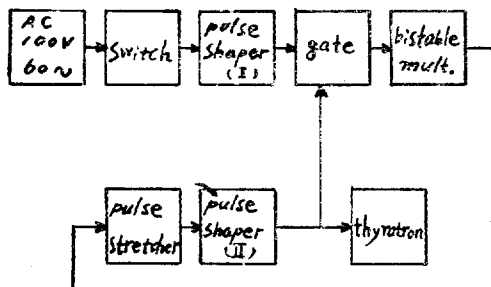


Fig 1. Block diagram of the generator of the variable phase pulse

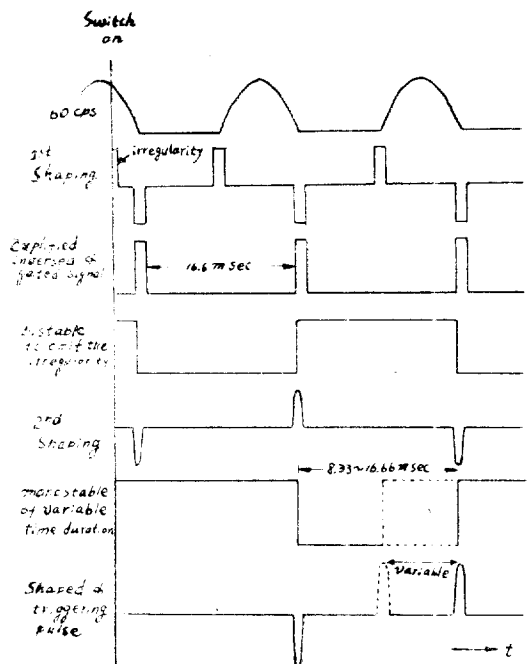
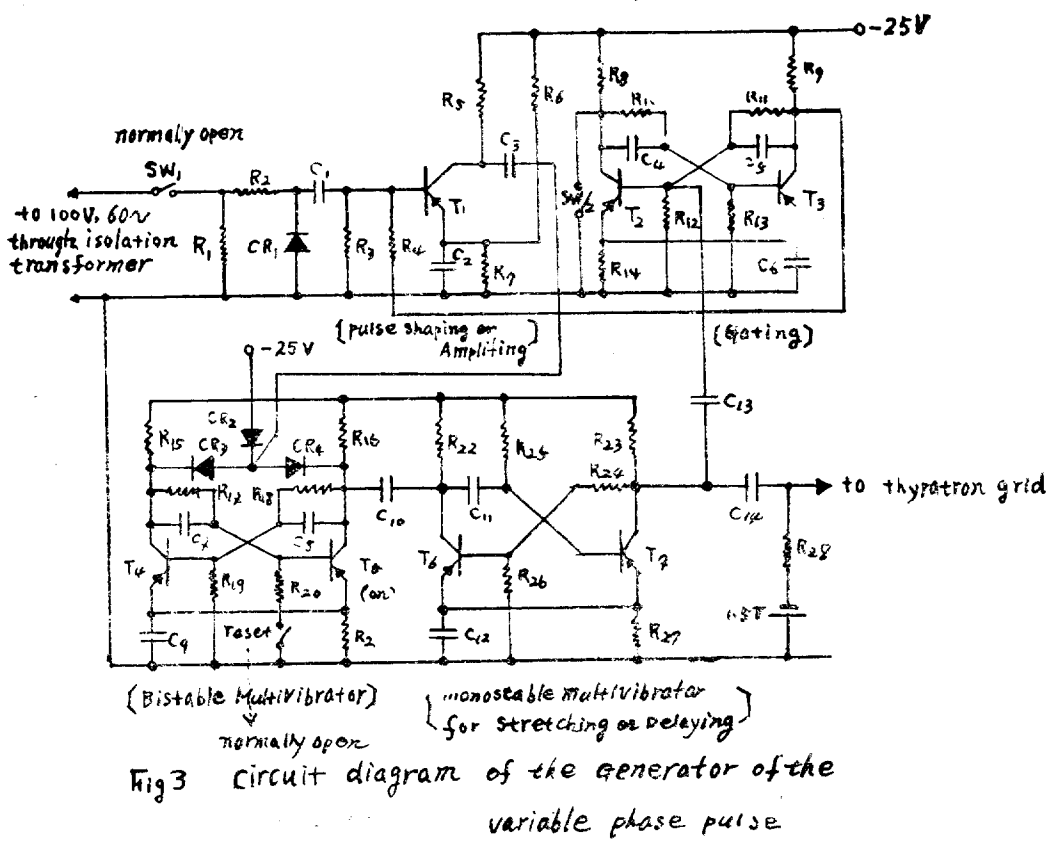


Fig 2. Wave forms of each section

SW normally close.



그 ending-edge 를 shape 해서 必要된 時間差를 얻는다. 이 shaped signal 이 thyratron 을 fire 하는 한편, 그 singnal 이 gate 로 들어가서 다음의 signal 을 뜯들어오게 하는 것이다. 그러나, 두 개의 switch 를 運動 시켜서 눌렀을 때는 sw₁ 이 on, sw₂ 가 off 되고, 눌렀을 때는 sw₂ 가 gate 回路를 reset 하게 하면 簡便하다. 따라서 回路는 Fig. 3 과 같이 된다. 한편 block diagram 각부의 波形은 Fig. 2 와 같다.

Transistor 는 T₁ 이 [2N43]이고 그 외는 모두[2N40 4]이며, CR₁ 은 zener diode 로서 [1N468]이다.

T₁ 은 T₃ 가 on-state 일 때 R₇ 을 通過해서 emitter 에 걸어 놓은 bias 때문에 off state에 있으나, T₃ 가 off 되면 增幅을 해서 bistable flip-flop 回路에 信號를 뿐만 아니라 sw₁ 및 sw₂ 는 同時에 動作하되 sw₁ 은 normally open 이고, sw₂ 는 normally closed로 reset 하고 있다.

[回路定數]

$$\begin{aligned} C_1 &= 4700P \\ C_2 &= 10\mu \\ C_8 &= 0.1\mu \\ C_4C_5C_7C_8 &= 500P \\ C_6C_{10}C_{12} &= 1\mu \\ C_9C_{13}C_{14} &= 0.01\mu \\ C_{11} &= 0.24 \sim 0.45\mu \\ &\text{(可變 또는 step)} \end{aligned}$$

$$\begin{aligned} R_1R_2R_3 &= 10K \\ R_4 &= 20K \\ R_5 &= 5K \\ R_6 &= 1K \\ R_8 &= 2.4K \\ R_9R_{11}R_{15}R_{18}R_{22}R_{24} &= 2K \\ R_9R_{10}R_{16}R_{17}R_{25}R_{28} &= 30K \\ R_{12}R_{13}R_{19}R_{20}R_{26} &= 27K \\ R_{14}R_{21}R_{28} &= 560K \\ R_{25} &= 47K \end{aligned}$$

$$\begin{aligned} CR_1 &: 1N468 \\ CR_2, CR_3, CR_4 &: SD46 \end{aligned}$$

Fig.4. Block diagram of generator of several pulse train

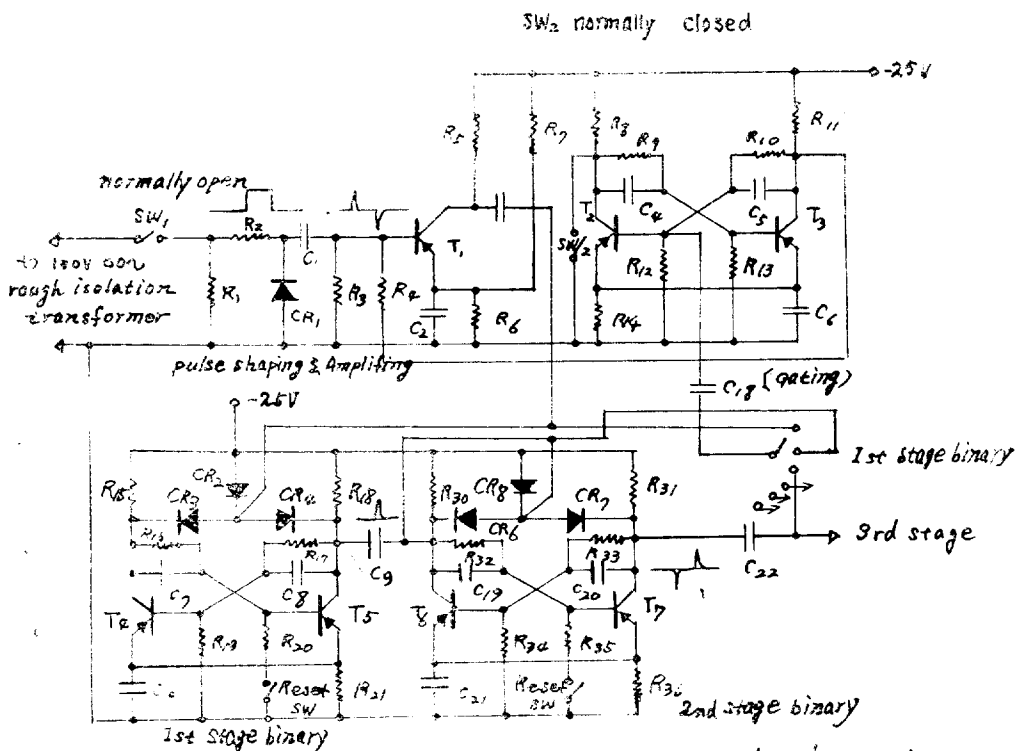


Fig.5 circuit diagram of the generator of several pulse train

다음에 1 cycle 以上의 必要할 경우를 생각해 보면 positive cycle 이 始作할 때 fire 를 하지 하되, 1. 2. 4. 8. 16 과 같이 倍數의 pulse 를 供給하기로 하면(勿論, digital 回路로써 連續된 整數의 pulse 를 만들 수 있지만) 그 block diagram 은 Fig.4 와 같다.

이 回路는 preset 한 數의 half cycle 동안을 通過하게 할 수 있다. 그 具體的인 回路는 Fig.5 에 紹介한다. 前 回路와 共通인 部分도 重複하되 定數를 略한다. 勿論, switch 에 依해서 非共通部分만을 바꿔 더 오묘 된다.

〔回路定數〕

$$\begin{array}{ll} C_{18}=0.01\mu & R_{30}R_{31}=2K \\ C_{19}C_{20}=500P & R_{32}R_{33}=1,000K \\ C_{21}=0.1\mu & R_{34}R_{35}=680K \\ & R_{36}=560K \end{array}$$

4. 結論

一般的으로 thyratron 의 感度가 敏敏하기 때문에 20 volts에 가까운 [2N404]의 multivibrator 의 出力を 그 것을 trigger 하는데 充分하였다. Fig.5의 回路에서는 binary 를 two stages 단 表示했는데 實은, 必要한 pulse 數에 따라서決定되는 stage 數($=\log_2 n$, n : 必要한 pulse 數)만큼 같은 모양으로 이어져야 할 것은勿論이다.

Fig.3의 回路에서는 gate 回路에 가는 線을 없애므로서 fire angle 을 變化할 수 있는 30 cps의 電源(binary 때문에)을 얻을 수 있는데 binary 를 거치지 않고 pulse

amplifying stage로부터의 positive pulse 로서 直接 monostable multivibrator 를 drive 하면 훌히極히愛用되고 있는 smooth 한 control 裝置가 된다. (交流로부터 整流해서 零으로부터 最大值까지의 直流를 抵抗에 依する 損害없이 control 하는 가장 좋은 方法) RCA thyratron GL 5557 을 使用해서 one pulse 로서 40 A 까지 使用할 수 있었다. Fig.5에서 thyratron plate에 걸리는 電壓과 isolation transformer 의 二次電壓 사이에는 180° 的 位相差가 있어야 한다.

한편, 1st shaping 에 zener diode 를 썼을 경우에는 irregularity 를 除去하기 為한 binary 는 不必要하다.

[Reference]

1. Coherent(visible) Light Emission from Ga(As_{1-x}P_x) Junction, N. Holonyark Jr. and S. F. Bevacqua, Appl. Phys. Letters 1, p 82, 1962.
2. R.N. Hall, G.E. Fenner, J.D. Kingsley, T.J. Soltys and R.O. Carson, Phys. Rev. Letters, 9, p 366, Nov. 1, 1962.
3. 여기서 使用한 gate 回路를 同一 Transistor[2N404]로서 使用한 例는 研究報告書 “放射線計測에 關한 究一Transistorized Timer 의 設計 및 試作” 金鍾鍊, 金東勳, 安秀吉—原子力 研究所, 業務報告書

(1963年 7月 30日 接受)